

عزل وتشخيص جزيئه الدنا للبوغة الكلبية الجديدة من الأبقار في سوريا

تم جمع أعضاء (دماغ، قلب، عضلات هيكيلية) من ٢٥ جنينا مجسدة و ١٤ عجلا إضافة إلى جمع عينات دم من العجول، و ٣٩ عينة دم ومشيمة من أبقار مجسدة ، وذلك بهدف عزل طفيلي البوغة الجديدة الكلبية على خلايا الزرع الخلوي والكشف عن ذراري البوغة الجديدة الكلبية من خلال تقبية تفاعل سلسلة البوليمرizer ذو الوقت الحقيقي ، وباستخدام ٣ أرواج من المشرعات للذراري ، حيث تبين من خلال تنبية العينات على خلايا الزرع الخلوي ظهور تأثيرات مرضية خلوية تتمثل بظهور فجوات، تمزق الخلايا وظهور الحيوانات التسرعية ، حيث كانت متباعدة الشدة بين الأعضاء وبعد التصريحات. وعند إجراء اختبار تفاعل سلسلة البوليمرizer ذو الوقت الحقيقي على قوالب جزيئه الدنا المستخلصة من المزارع الخلوية التي أظهرت نمواً لطفيلي تبين وجود منحنيات تأثير إيجابية ازدادت ذريجاً للعينات الإيجابية ، حيث تبين أن أعلى نسبة للإصابة في المزارع الخلوية المأخوذة من الأدمغة والعضلات الهيكيلية للأجنحة المجسدة والقلب والعضلات الهيكيلية للعجول ، بينما أظهرت عينات المشيمة للأبقار المجسدة التي تم إيماءها على المزارع الخلوية نسبة أقل مما هو عليه الحال من عينات الدم. وتبينت العلاقة ما بين العلامات المرضية الظاهرة على الحيوانات المصابة ونسبة الإصابة بالطفيلي ، وبينت نتائج فحص الدنا لطفيلي للكشف عن ذراري البوغة الجديدة الكلبية، إن نسبة إصابة بالذراري متباعدة حسب نوع الذرية ونوع العضو الذي تم عزل الطفيلي فيه.

الكلمات المفتاحية: البوغة الجديدة الكلبية - خلايا كلية لجنة القرود الافريقية - الخضراء - التأثير المرضي الخلوي - تفاعل سلسلة البوليمرizer ذو الوقت الحقيقي - ذراري - الدنا.

وردة للنشر : قبل للنشر

المقدمة Introduction

تعد البوغة الجديدة الكلبية من الأكرباتطفيلية *Coccidian parasite* ، عرف الطفيلي لأول مرة في عام ١٩٨٤ م في الترويج في الكلاب صغيرة العمر من نوع Boxer dog، تعاني من علامات التهاب الدماغ Encephalomyelitis والتهاب العضلات Myositis والعرج Lameness (Bjerkas *et al.*, 1984) ، ومن الجدير بالذكر بأنه وجد منذ عام ١٩٨٨ م أن للطفيلي علاقة وطيدة بالمشاكل التناسلية في الأبقار فضلاً عن تسببه في ظهور أعراضًا "عصبية في العجلو المولودة حديثاً" (Jessica *et al.*, 2011) ، وتنعلق هذه الأعراض بعزو الحيوانات التسرعية للطفيلي *Tachyzoites* لأنسجة الأم والجنين ، حيث وجدت في أنسجة مختلفة في جسم الثدي خلال التطور الحاد للمرض بينما وجدت الأكياس النسجية Tissue cyst في الطورين الحاد والمزمن وخصوصاً في الدماغ (Timothy *et al.*, 1999) ، وبعد تشخيص طفيلي البوغة الجديدة الكلبية صعباً نظراً

لعدم وجود أعراضًا" مرضية متخصصة في الأبقار وكذلك عدم وجود اختبارات طفيليّة تشخيصية لها القدرة لتمييزها، (Habibi et al., 2005).

ويعتمد تشخيص البوغة الجديدة الكلبية على عدة جوانب منها، التقصي عن الأضداد المتخصصة للطفلبي في مصوّل الحيوانات المصابة من خلال عدة اختبارات مصلية (Dubey et al., 2007)، أو من خلال الكشف عن الطفلبي زرعياً بإيماء الطفلبي على خلايا الزرع الخلوي وذلك نظراً لقدرة الحيوانات التسرعية على النمو على عدة أنواع من خلايا الزرع الخلوي منها (خلايا كلية لجنة القرود الإفريقيّة الخضراء، خلايا بطانة الشريان الرئوي والخلايا وحيدة النواة للأبقار)، حيث تُستخدم هذه الخلايا بصورة واسعة في تعميم الحيوانات التسرعية وذلك بغرض إثبات أعدادها، ودراسة البنية المستدقة، والدراسات الجزيئية والمستضدية، ودراسة قدرة وحوية الحيوانات التسرعية على الالتصاق على الخلايا وأليه ذلك، ومن ثم تحقيق الهدف الرئيسي ألا وهو تشخيص الطفلبي الكشف عن الدنا للطفلبي من خلال تقنية تفاعل سلسلة البولимерيز Polymerase Chain Reaction (PCR)، حيث تغيّر طريقة حساسة للكشف، وذلك من خلال تحضير لمورث محدد للطفلبي ومن ثم تحديده (Norbert et al., 2002)، حيث بعد المورث Nc5 أكثرها شيوعاً، وتتمتع هذه التقنية بميّزات عديدة منها الحساسية العالية، الدقة، الكشف عن الطفلبي حتى لو كان بأعداد قليلة، هذا بالإضافة للكشف عن الطفلبي في المزارع الخلويّة، وأنسجة الجنين والأم، والسوائل الجنينية، والكشف عن الدنا للحيوانات التسرعية، والحيوانات البطينية Bradyzoites والكيسة البيضية oocyst، وكذلك القدرة عن الكشف عن الطفلبي في أنواع متعددة لتشمل الحيوانات المختبرية أيضاً (Esther et al., 2002)، وطورت هذه التقنية لتشمل أنواعاً دقيقة جداً مثل (ذات الوقت الحقيقي Real Time، المتداخل Nested، نصف المتداخل Seminested، الكمي التناصي Quantitative -Competitive والنوع التقليدي للتقنية Classic PCR) والتي لها فوائد أخرى منها تشخيص الذريّي المتعدد للطفلبي من خلال استخدام أنواع متخصصة لكل ذرية من المشاريع (Salehi et al., 2009) Primers.

ولعدم وجود دراسة إلى هذا الوقت تتضمّن الكشف عن الطفلبي وذراريّه في سوريا فقد أجرت هذه الدراسة لأول مرة في سوريا وذلك لتحقيق الأهداف التالية:

- ١- عزل طفلبي البوغة الجديدة الكلبية من أنسجة الأبقار، العجل والاجنة المجهضة على خلايا الزرع الخلوي من نوع خلايا كلية لجنة القرود الإفريقيّة الخضراء .
- ٢- الكشف عن ذراريّي البوغة الجديدة الكلبية من خلال تقنية تفاعل سلسلة البولимерيز ذو الوقت الحقيقي Real Time PCR

طرائق ومواد البحث Material and Methods

١- جمع العينات:

تم جمع عينات من ٢٥ جنيناً مجهمضاً وبأعمار مختلفة، فضلاً عن جمع عينات من ١٤ عجلاً ولدت ضعيفة ويعاني البعض منها من أعراض عصبية وعدم القدرة على الوقوف، حيث جمعت العينات بعد نفوق العجول إضافة إلى جمع المشيمة وعينات الدم من ٣٩ بقرة تعلقى من الإجهاض وبفترات حمل مختلفة.

وضع الدم في أنابيب اختبار حاوية على مانع تخثر (هيبارين) أضيف لها حجم مماثل من الفايوكول ومن ثم وضعت في جهاز المثقلة ٢٠٠٠ دورة/ دقيقة ، ٤ م ، ١٠ دقائق سحب طبقة الخلايا اللمفاوية (Buffy Coat) وحفظت في ٤ م لحين إجراء إئماء الطفيلي، وتم إجراء الصفة التشربجية على الأجنحة المجهمضة والعجول النافق باستخراج أدوات جراحية معقمة واخذ منها الدماغ ، أجزاء من العضلات البيكلية والقلب بالإضافة إلى أجزاء من المشيمة من الأبقار، وقد وضعت أجزاء من هذه الأعضاء في قوارير معقمة مسبقاً لهذا الغرض حيث تكون حاوية على محلول دارنة الفوسفات (PBS) متعادل والحاوي على ١٠٠ وحدة دولية / ١ ملليلتر من البنسلين ج (Penicillin G) ، سلفات المستربوتومايسين بمقدار ٥٠ ملليغرام / ١ ملليلتر (Streptomycin Sulfate) وسلفات الجنتاميسين (Gentamicine Sulfate) بمقدار ٥٠ ملغم / ١ لتر وصادات فطور متمثلة لامفوتيزيمين ب (Amphotericin B) بمقدار ٢,٥ ملغم / ١ لتر وذلك لغرض عزل الطفيلي على خلايا الزرع الخلوي (Masumi et al., 2000).

٢- عزل الطفيلي:

تم أخذ ٢٠ غراماً من الأعضاء المضاف إليها محلول داريء الفوسفات الحاوية على الصادات الحيوية كل عضو على حده ، وقطعت في هاون خزفي معقم إلى قطع صغيرة باستخدام مقص جراحي معقم، ونقلت العينة بعد ذلك إلى حوجلة للهضم بالتربيسين (Trypsinized Flask) ، ووضع معها قطعة من مغناطيس معقم ومن ثم أضيف إليها ٤٠ ملليلتر من محلول دارنة حاوي على ٢٥٪ تربيسين و ٠,٢٥٪ من ملح EDTA (Ethylene Diamine Tetraacetic Acid) حيث حضنت بدرجة ٣٧ م لـ ٤٥ دقيقة مع التحريك المستمر باستخدام جهاز المزج المغناطيسي ، ثم وضع المزيج في أنابيب معقمة ووضعت في جهاز المثقلة المبردة (٤ م) ٢٠٠٠ دورة/ دقيقة لمدة ١٠ دقائق ، وتم التخلص من الراتش ، ثم أضيف ١٠ ملليلتر من الوسط الزراعي للنمو MEM (Minimal Essential Media) ، إلى الراسب وتم مزجهما جيداً ومن ثم وضع المزيج في جهاز المثقلة، تم تكرار هذه العملية ثلاثة مرات لغرض غسل الراسب ومن ثم علق هذا الراسب في ١٠ ملليلتر من الوسط الزراعي للنمو MEM ليحفظ في درجة حرارة ٤ م لحين إجراء الإنماء على خلايا الزرع الخلوي (Nathalie, 2003).

٣- إنماء الطفيلي:

تم إتباع طريقة (Yamane et al., 1997) ، حيث تم مزج العالق الذي تم تحضيره مسبقاً في عملية عزل الطفيلي ب ١٠ ملليلتر من خلايا كلية أجنة القرود الخضراء الأفريقية ومن ثم حضن لمدة ٤ ساعات بدرجة حرارة ٣٧ م° ووضع المزيج في أنابيب معقمة في جهاز المتنقلة ٢٠٠٠ دورة/دقيقة لمدة ١٠ دقائق ومن ثم تم التخلص من الراشح، وغسل الراسب الحاوي على الخلايا ثلاث مرات بمحلول دارئة الفوسفات المعقمة و الذي يكون بدرجة حرارة ٣٧ م° ، ونقلت الخلايا فيما بعد إلى الحوجلة الخاصة للزرع الخلوي (Falcon سعة ٥٠ ملليلتر) ومن ثم أضيف إليها وسط النمو (Growth media) ، تم تحضير الخلايا في ٣٧ م° ، CO₂ ٥%، وتم مراقبة الخلايا يومياً بفحصها تحت المجهر ويراعى استبدال الوسط كل ٥ أيام وإجراء تمريره واحدة كل ٤ أيام من التحضيرين ولستة تمريرات.

٤- استخلاص الدنا :DNA Extraction

تم إجراء استخلاص الدنا حسب تعليمات الشركة المصنعة للعينة (OMEGA bio-ket)

-استخلاص الدنا للطيفي DNA من المزارع الخلوية:

تم حصاد الخلايا من حوجلة الزرع الخلوي باستخدام مكشطة الخلايا المطاطية cell scraper، ثم تم غسل الخلايا ثلاث مرات باستخدام محلول دارئة الفوسفات البارد (٤ م°) ، وتم تعليقها في دارئة الفوسفات البارد (٤ م°) ١٨٠ مايكروليتر ، ومن ثم إضافة ٢٠ مايكروليتر من إنزيم بروتيناز K (Proteinase K) (25 mg /ml) ومزج جيداً وحضن في الحمام المائي البهار ٥٥ م° لمدة ١٠ دقائق ، وتم بعد ذلك نقل العينة في أنابيب إيندورف Eppendorf حجم ١.٥ ملليلتر معقمة ، وبالتالي إضافة ٢٠٠ مايكروليتر من دارئة MSL ومزج جيداً وحضن ١٠ دقائق عند درجة حرارة ٧٠ م°، وترك الأنبوبي في درجة حرارة الغرفة لمدة ٥ دقائق ، ثم أضيف الایتanol المطلق ١٠٠ % بعدها ٢٦٠ مايكروليتر مع ١٠ مايكروليتر من الجزيئات المغناطيسية Bind Particles Mag - و ١٠ مايكروليتر من دارئة LPA ، ومزج جيداً وحضن لمدة ٥ دقائق في درجة الغرفة ، ووضع الأنبوبي فوق جهاز الفصل المغناطيسي لمدة ٧ دقائق ، ثم أزيل السائل الراشح باستخدام ماصة دقيقة ، وتم إضافة ٤٠٠ مايكروليتر من دارئة MP ومزج جيداً ، وحضن بعد ذلك لمدة ٣ دقائق في درجة حرارة الغرفة ووضع الأنبوبي فوق جهاز الفصل المغناطيسي لمدة ٧ دقائق و تم التخلص من الراشح باستخدام ماصة دقيقة وأضيف ٤٠٠ مايكروليتر من محلول دارئة الغسل SPM Wash Buffer مع المزج الجيد وحضن ٣ دقائق في درجة حرارة الغرفة ، ووُضعت بعدها الأنبوبي على جهاز الفصل المغناطيسي لمدة ٧ دقائق ، وتم التخلص من الراشح باستخدام ماصة دقيقة، وأعيدت عملية الغسل بدارئة الغسل SPM Wash Buffer ٤٠٠ مايكروليتر ، ثم تم التأكد من خلو الأنبوبي من أي كمية من الراشح وأضيف دارئة الشطف Elution Buffer ٢٠٠ مايكروليتر لشطف الدنا عن الجزيئات المغناطيسية مع مراعاة المزج الجيد ومن ثم تم التحضير ١٠ دقائق في درجة حرارة الغرفة ، ووُضعت الأنبوبي بعدها فوق جهاز الفصل المغناطيسي لمدة ٧ دقائق و سحب الراشح

الحاوي على جزيئات الدنا المستخلصة ونقل إلى أنبوبة إيندورف Eppendorf حجم 1,٥ ملليلتر معقمة أخرى، وحفظ الأنبوب في -٧٠ م لحين إجراء اختبار تفاعل سلسلة البولимерيز عليه.

٥-تفاعل سلسلة البولимерيز ذو الوقت الحقيقي Real Time PCR

تم استخدام العينة المنتجة من قبل شركة (Genekam Biotechnology AG Germany) (الشكل-١-) والتي تعتمد على صبغات ومضانية Fluorogenic

٦-المحاليل والمواد المستخدمة في تفاعل البولимерيز

عبارة عن مزيج تفاعل يحتوي على كل مكونات التفاعل مع المشرعتات و قالب الدنا المراد اختباره، ويكون مزيج التفاعل لكل عينة حجم ٢٥ ميكروليتر من المواد التالية:

اسم المادة	الكمية(ul)	التركيز النهائي	ت
10X PCR Buffer	٢,٥	1X	-١
dNTPs(dATP, dCTP, dGTP, & dTTP)	0.5	200uM	-٢
MgCl ₂	٣,٢٥	1.5mM	-٣
Taq DNA-Polymerase	0.125	2.5 units	-٤
Dyes	0.25	100nM	-٥
Primer A	٠,٢	800nM	-٦
Primer B	٠,٢	800nM	-٧
DNA Template	٥	-	-٨
RNA Free Water	١٢,٩٧٥	-	-٩

٧-المشرعات أو البايدنات: Primers

صنعت هذه المشرعات من قبل شركة GenBank Accession، وتم انتقاء هذه المشرعات من أجل تضخيم المورثات لكل من الذراي (Nathalie, 2003) (NC-5, Nc1 and BPA-4)، وقد تضمنت ٣ أزواج من المشرعات وكما يلي:

اسم الذراية	مسلسل البايدنة الوراثي ٥'-٣'	الحجم(bp)	ت
NC-5	'٣CACAAAGTCGCACGGAGGTCA'٥ '٣AAGGAGAACGCTTCGTAACAA'٥	٧٦	١
BPA-4	'٣CACACACTTGCCCACTTGGCTCCCT'٥ '٣ACCATGCCACTCTCCACCCATGCAC'٥	٢٣٧	٢
Nc1	'٣AATGTCCTAACCTGCGTGACCC '٥ '٣TCTTCTGCATCCAAC TGACCGCTC '٥	٣٢٧	٣

٥-٣-خطوات عمل تفاعل سلسلة البولимерيز ذو الوقت الحقيقي:

أجري اختبار تفاعل البولимерيز المتسلسل ذو الوقت الحقيقي حسب الطريقة الموسومة من قبل (Esther et al., 2002) حيث أجري الاختبار في حجم تفاعل كلي من ٢٥ ميكروليلتر في طبق الاختبار الحاوي على ٩٦ حفرة (Plate) حيث أضيف في كل حفرة ٢٠ ميكروليلتر من كل بادئ من البادئات Primers و ٥ ميكروليلتر من و قالب الدنا Template DNA وباقى الحجم من محلول مزيج التفاعل الجاهز Master mix الحاوي على جميع مكونات التفاعل باستثناء البادئات و قالب الدنا، ثم وضع بعد ذلك طبق الاختبار في المبلمر الحراري (Thermocycler) (الشكل-٢-). واجريت عملية النضاعف Amplification بواسطة جهاز المبلمر الحراري المبرمجة على خمسين دورة بعد خطوة المسخ Denaturing لمدة ٩٥° م لمندة ١٠ دقائق. وقد شملت كل دورة مسخ عند درجة حرارة ٩٤° م لمدة خمسة ثواني ٢٥ دورة ، ارتباط Annealing البادئ أو المثُرعة بدرجة ٦٠° م لمدة ١٥ ثانية ، و استطالة Elongation عند درجة حرارة ٧٢° م لمدة ١٥ ثانية، ثم ٢٥ دورة مسخ ٩٤° م لمدة ٥ ثواني ، ارتباط ٦٦° م لمدة ٥ ثواني ، استطالة ٧٢° م لمدة ٤٥ ثانية



الشكل-١-عينة تفاعل سلسلة البولимерيز ذو الوقت الحقيقي



الشكل-٢-جهاز المبلمر الحراري الخاص
لتفاعل سلسلة البولимерيز ذو الوقت

Results النتائج

تبين من خلال تتميم الأعضاء المختلفة الماخوذة من الأجنة المجهضة ، العجلول والأبقار على خلايا الزرع الخلوي من نوع خلايا كلية أجنة القرود الأفريقية الخضراء(شكل-٢-) ولستة تمريرات وجود تمريرات عمياء(Blind passage) حيث كانت متباينة حسب مصدر ونوع العضو المراد عزل الطفيلي منه ، ومن ثم ظهور تأثير مرضي على الخلايا Cyto Pathic Effect(CPE) متمثلة بظهور فجوات بين الخلايا Vacule (شكل-٤-) وتمزق في الخلايا Rupture (شكل-٥-) وظهور

الحيوانات التزرعية (شكل -٦-) حيث كانت هذه التأثيرات متباينة الشدة بين الأعضاء والتمريرات وازدادت شدة بزيادة التمريرات، جدول -١-.

Cyto Pathic Effect

على خلايا الزرع الخلوي لخلايا كلية أجنة القرود الأفريقيبة الخضراء

ظهور الخطي			تعزق الخلايا			ظهور فجوات			تأثير المرضي الخلوي	مصدر
أبقار	عجول	أجنة مجهمضة	أبقار	عجول	أجنة مجهمضة	أبقار	عجول	أجنة مجهمضة	رقم التمريرة	العينة
-	-	-	-	-	-	-	-	-	الأولى	مشيمة
-	-	-	-	-	-	-	-	-	الثانية	
-	-	-	-	-	-	-	-	-	الثالثة	
-	-	-	-	-	-	-	-	-	الرابعة	
+	+	+	-	-	-	+	+	-	الخامسة	
+	+	+	-	-	-	+	+	-	السادسة	
-	-	-	-	-	-	-	-	-	الأولى	
-	-	-	-	-	-	-	-	-	الثانية	
-	-	-	-	-	-	-	-	-	الثالثة	
-	-	-	-	-	-	-	-	-	الرابعة	
-	-	-	-	-	-	+	-	-	الخامسة	دم
+	-	+	-	-	-	+	-	-	السادسة	
-	-	-	-	-	-	-	-	-	الأولى	
-	-	-	-	-	-	-	-	-	الثانية	
-	-	-	-	-	-	-	-	-	الثالثة	
-	-	-	-	-	-	-	-	-	الرابعة	
-	-	-	-	-	-	-	-	-	الخامسة	
-	-	-	-	-	-	-	-	-	السادسة	
-	-	-	-	-	-	-	-	-	الأولى	
-	-	-	-	-	-	-	-	-	الثانية	
-	-	-	-	-	-	-	-	-	الثالثة	
-	-	-	-	-	-	-	-	-	الرابعة	دماغ
-	-	-	-	-	-	-	-	-	الخامسة	
-	-	-	-	-	-	-	-	-	السادسة	
-	-	-	-	-	-	-	-	-	الأولى	
-	-	-	-	-	-	-	-	-	الثانية	
-	-	-	-	-	-	-	-	-	الثالثة	
-	-	-	-	-	-	-	-	-	الرابعة	
-	-	-	-	-	-	-	-	-	الخامسة	
-	-	-	-	-	-	-	-	-	السادسة	
-	-	-	-	-	-	-	-	-	الأولى	القلب
-	-	-	-	-	-	-	-	-	الثانية	
-	-	-	-	-	-	-	-	-	الثالثة	
-	-	-	-	-	-	-	-	-	الرابعة	
-	-	-	-	-	-	-	-	-	الخامسة	
-	-	-	-	-	-	-	-	-	الأولى	
-	-	-	-	-	-	-	-	-	الثانية	
-	-	-	-	-	-	-	-	-	الثالثة	
-	-	-	-	-	-	-	-	-	الرابعة	
-	-	-	-	-	-	-	-	-	الخامسة	
-	-	-	-	-	-	-	-	-	ال السادسة	العضلات الهيكالية
-	-	-	-	-	-	-	-	-	ال السابعة	
-	-	-	-	-	-	-	-	-	ال الثامنة	
-	-	-	-	-	-	-	-	-	ال سابعة	
-	-	-	-	-	-	-	-	-	ال الخامسة	

+

+

+

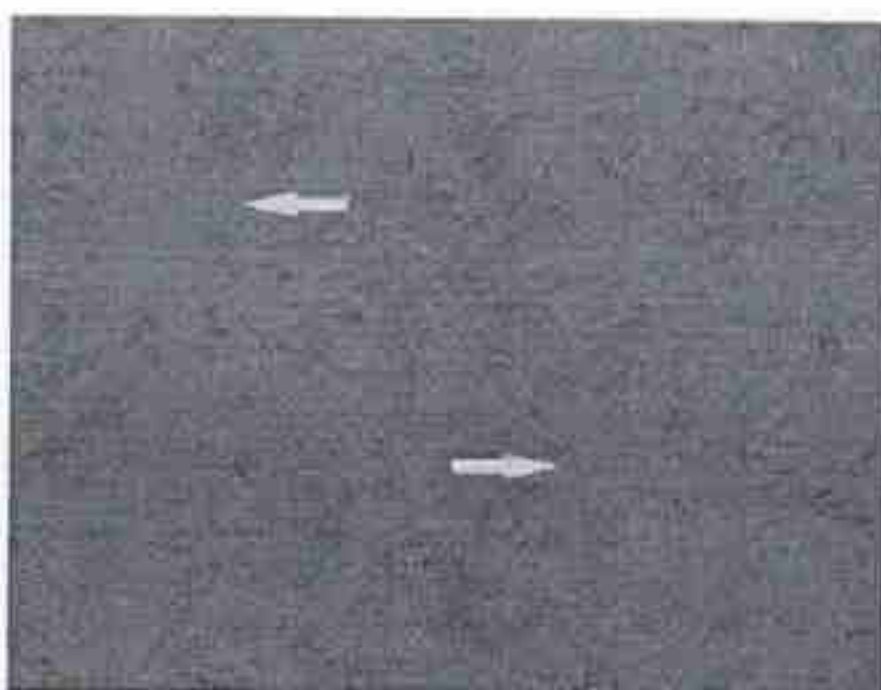
+

+

+

السادسة

الإشارات التالية (-) عدم ظهور تأثير خلوي ، (+) ظهور تأثير خلوي



شكل (٤) ظهور التأثير المرضي الخلوي
(الفجوات) في خلايا الزرع الخلوي



شكل (٣) خلايا كلية لجنة القرود الافريقية
الحضراء



شكل (٦) ظهور الحيوانات التسرعية
للطفل في خلايا الزرع الخلوي



شكل (٥) ظهور التأثير المرضي الخلوي (تمزق
الخلايا) في خلايا الزرع الخلوي

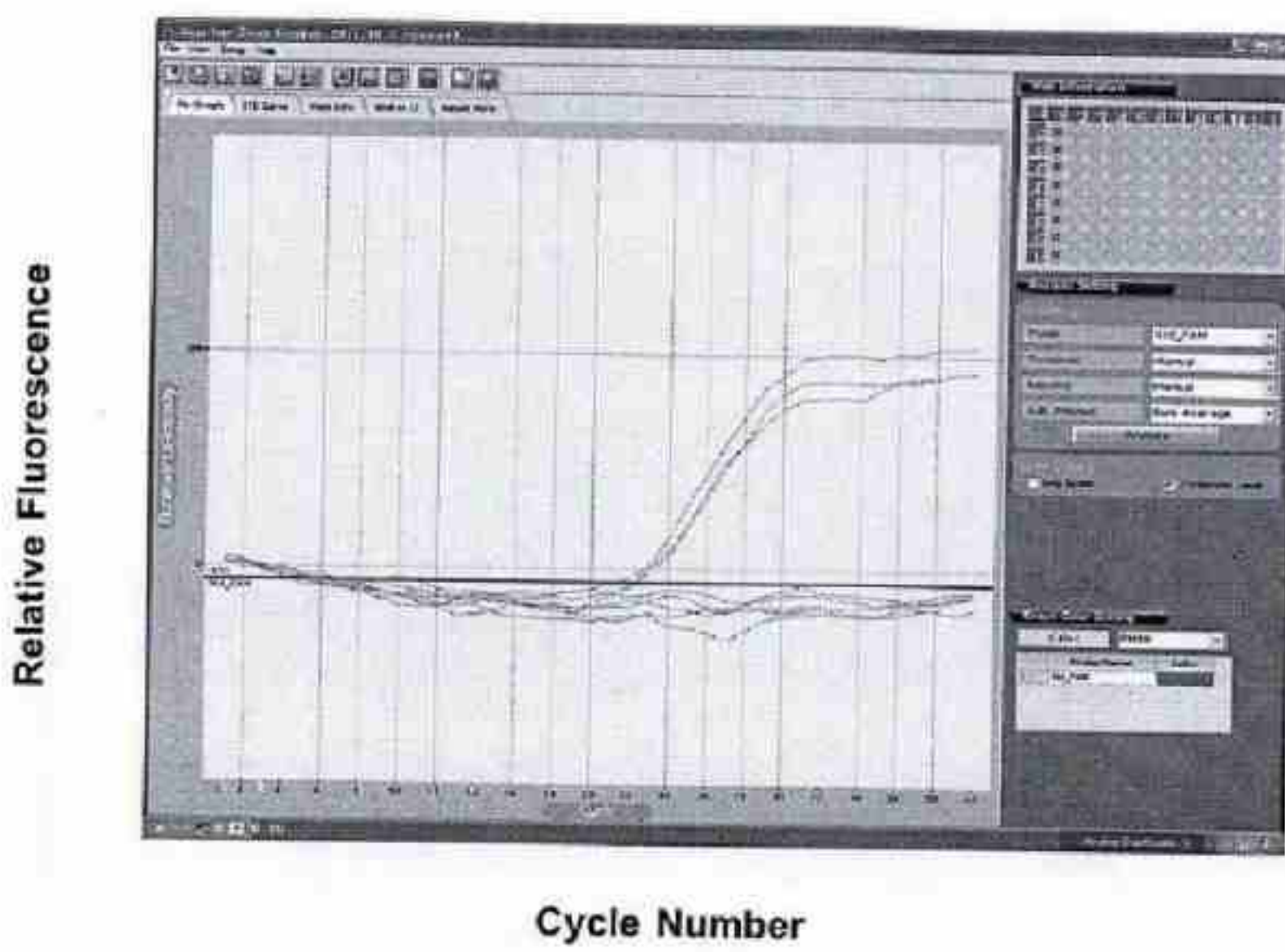
تبين من خلال تربية أعضاء الأجهزة المجمدة على خلايا الزرع الخلوي من نوع خلايا كلية لجنة القرود الافريقية الحضراء أن أول ظهور للتأثيرات المرضية للخلايا كان في التمريرة الثالثة لعينات القلب، بينما كان أول ظهور للتأثيرات المرضية للخلايا في عينات العجول حديثة الولادة كان ذلك للتيررة الرابعة لعينات القلب والدماغ سوياً، في حين لم يظهر أي تأثير مرضي للخلايا لعينات دم

العجل، فيما كان أول ظهور للتأثيرات المرضية الخلوية في التمرينة الرابعة لمشيمة الأبقار ،
جدول - ٢ .

**جدول (٢) يبين عدد التمرينات على خلايا الزرع الخلوي من نوع خلايا كلية أجنة القرود الأفريقية
الخضراء للأعضاء التي تم جمعها**

أبقار (٣٩)		عجل (١٤)		أجنة مجهرضة (٢٥)		رقم التمرين	مصدر العينة	ن
عدد العينات السلبية	عدد العينات الإيجابية	عدد العينات السلبية	عدد العينات الإيجابية	عدد العينات السلبية	عدد العينات الإيجابية			
٣٩	-	-	-	-	-	الأولى	مشيمة	١
٣٩	-	-	-	-	-	الثانية		
٣٩	-	-	-	-	-	الثالثة		
٣٦	٧	-	-	-	-	الرابعة		
٢٩	١٠	-	-	-	-	الخامسة		
٢٩	١٠	-	-	-	-	ال السادسة		
٢٩	-	١٤	-	-	-	الأولى		
٢٩	-	١٤	-	-	-	الثانية		
٢٩	-	١٤	-	-	-	الثالثة		
٢٩	-	١٤	-	-	-	الرابعة		
٢٨	١	١٤	-	-	-	الخامسة	دم	٢
٢٧	٢	١٤	-	-	-	ال السادسة		
-	-	١٤	-	٢٥	-	الأولى		
-	-	١٤	-	٢٥	-	الثانية		
-	-	١٤	-	٢٥	-	الثالثة		
-	-	١٠	٤	٢٤	١	الرابعة		
-	-	١٠	٤	٢٠	٥	الخامسة		
-	-	٩	٥	١٩	٦	ال السادسة		
-	-	١٤	-	٢٥	-	الأولى		
-	-	١٤	-	٢٥	-	الثانية		
-	-	١٤	-	٢٣	٢	الثالثة	دماغ	٣
-	-	١٢	١	٢٢	٣	الرابعة		
-	-	١٢	٢	٢١	٤	الخامسة		
-	-	١١	٢	٢١	٤	ال السادسة		
-	-	١٤	-	٢٥	-	الأولى		
-	-	١٤	-	٢٥	-	الثانية		
-	-	١٤	-	٢٥	-	الثالثة		
-	-	١٤	-	٢٥	-	الرابعة		
-	-	١٢	١	٢٤	١	الخامسة		
-	-	١٢	١	٢٢	٢	ال السادسة		
العضلات الهيكيلية								

و عند إجراء اختبار تفاعل سلسلة البولимерيز ذو الوقت الحقيقي باستخدام ثلاثة مسحات للذري (BPA4, NC-5, Nc1) بيت نتائج الاختبار لمسير DNA المصمم للمورث NC5 للبوجة الجديدة الكلبية بملحوظة منحنى التأكيد دورات تضخيم تفاعل البلمرة، حيث ظهرت النتيجة الإيجابية بالارتفاع التدريجي المتزايد لمنحنى التأكيد ، (شكل ٧).



شكل-٧- يبيّن نتائج تفاعل سلسلة البولимерيز ذو الوقت الحقيقي

Real Time PCR

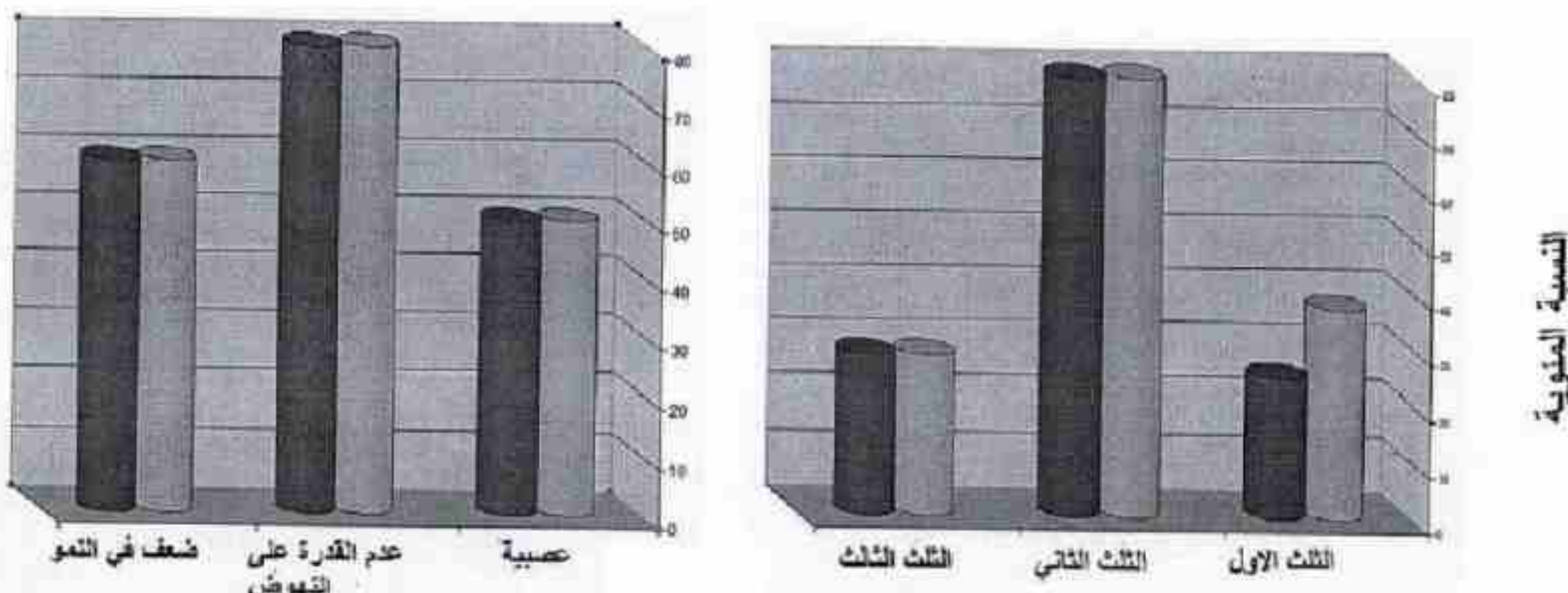
فيما بيت نتائج الكشف عن الدنا للطفيلي في المزارع الخلوية باستخدام تفاعل سلسلة البولимерيز ذو الوقت الحقيقي أن أعلى نسبة للإصابة في للمزارع الخلوية المأخوذة من الأجهزة كانت لعينات الدماغ والعضلات الهيكيلية (١٠٠٪)، أما بالنسبة للمزارع الخلوية التي تم عليها تربية عينات العجول فبلغ أعلى نسبة إصابة لعينات القلب والعضلات الهيكيلية (١٠٠٪)، بينما تبين أن عينات مشيمة (٩٪) التي تم إتمانها على المزارع الخلوية كانت نسبتها أقل مما هو عليه الحال بالنسبة لعينات الدم (١٠٠٪)، جدول (٣).

جدول(٣) يبين نتائج تفاعل سلسلة البوليمرizer ذات الوقت الحقيقي لخلايا الزرع الخلوي المصابة
بالطفيلي

نوع العينة	مصدر العينة	أجنة مجهرضة	عجول	أبقار	نوع العينة
%	%	%	%	%	%
-	مشيمة	-	-	٩	٩٠
١٠٠	دم	-	-	٢	١٠٠
-	دماغ	٦	٤	-	٨٠
-	قلب	٣	٣	-	١٠٠
-	العضلات	٣	١	-	١٠٠
	الهيكلية				

الإشارة التالية (*) عدم حصول نمو على المزارع الخلوية

بيّنت نتائج تعمية الطفيلي في المزارع الخلوية وتشخيصه باستخدام تفاعل سلسلة البوليمرizer ذو الوقت الحقيقي في الحيوانات المختلفة بالمقارنة مع العلامات المرضية التي تعاني منها ، ظهور أعلى نسبة إصابة في الأجنة المجهرضة التي أُجهضت في (الثالث الثاني) ، حيث بلغت %٨٠ في كلا الطريقتين (شكل-٨-) ، فيما ظهرت أقل نسبة للإصابة في العجول التي عانت من أعراض عصبية حيث بلغت (شكل-٩-) ، أما الأبقار فقد سجلت فيها أعلى نسبة إصابة %٤١.١٧ التي أُجهضت في (الثالث الثاني من الحمل) ، (شكل-١٠-)





الأشكال (١٠، ٩، ٨) ، تبين نسبة الإصابة بالبوجة الجديدة الكلبية باستخدام المزارع الخلوية واختبار تفاعل سلسلة البوليمريل وعلاقتها بالعلامات المرضية الظاهرة
 (شكل-٨- أجنة مجهمضة ، شكل-٩- عجول ، شكل-١٠- الأبقار)

بيّنت نتائج تفاعل سلسلة البوليمريل ذو الوقت الحقيقي للكشف عن ٣ ذراري للبوجة الجديدة الكلبية (BPA4, NC1, NC-5) وجود الدنا للطفليلي في أنسجة الأبقار للذرية ٥، حيث سجل أعلى نسبة لها في الدم مقارنة بالمشيمة ، أما الدنا للطفليلي الذي تم الكشف عنه في أنسجة العجول للذرية ٥ فتبين أن أعلى نسبة كان في عينات الدم فيما انعدم في عينات الدم والعضلات الهيكليّة، في حين بيّنت نتائج فحص أنسجة الأجنة المجهمضة للذرية ٥ إن أعلى نسبة كان في أنسجة الدماغ والعضلات الهيكليّة.

فيما أظهرت نتائج فحص الدنا للذرية NC1 للعينات التي تمأخذها من الأبقار أن أعلى نسبة كان في أنسجة المشيمة وقد انعدمت النتائج في الدم ، فيما بيّنت نتائج الفحص في أنسجة العجول انعدام وجود الذرية فيما عدا أنسجة القلب، أما أنسجة الأجنة المجهمضة فتم الكشف عن الدنا للذرية آنفة الذكر فقط في أنسجة الدماغ.

لما بالنسبة للذرية BPA4 فقد بيّن من خلال فحص الدنا في أنسجة الأبقار أن أعلى نسبة إصابة لهذه الذرية كانت في الدم مقارنة بالمشيمة، في حين سجلت أعلى نسبة إصابة للذرية BPA4 للعجول والأجنة في أنسجة العضلات الهيكليّة، جدول-٤-.

جدول (٤) نتائج اختبار تفاعل سلسلة البوليمرizer ذو الوقت الحقيقي بين أنواع الذراري التي تم عزلها من الأعضاء المختلفة للأبقار ، العجول والأجنة المجهضة في المزارع الخلوية

تفاعل سلسلة البوليمرizer ذات الوقت الحقيقي		نوع العينة	مصدر العينة	اسم التربة
عدد العينات السلبية(النسبة المئوية%)	عدد العينات الإيجابية(النسبة المئوية%)			
(٧٠)٧	(٣٠)٣	مشيمية	أبقار	NC-5
(٥٠)١	(٥٠)١	دم		
*	*	دم		
(٦٠)٣	(٤٠)٢	دماغ	عجل	
(٦٦,٦٧)٢	(٣٣,٣٣)١	القلب		
(١٠٠)١	(٠)٠	العضلات الهيكلية		
(٦٦,٦٧)٤	(٣٣,٣٣)٢	دماغ		
(٧٥)٣	(٢٥)١	القلب	أجنة مجهمضة	
(٦٦,٦٧)٢	(٣٣,٣٣)١	العضلات الهيكلية		
(٨٠)٨	(٢٠)٢	مشيمية	أبقار	
(١٠٠)٢	(٠)٠	دم		Nc1
*	*	دم		
(١٠٠)٥	(٠)٠	دماغ	عجل	
(٦٦,٦٧)٢	(٣٣,٣٣)١	القلب		
(١٠٠)١	(٠)٠	العضلات الهيكلية		
(٨٣,٣٤)٥	(١٦,٦٦)١	دماغ		
(١٠٠)٤	(٠)٠	القلب	أجنة مجهمضة	
(١٠٠)٣	(٠)٠	العضلات الهيكلية		
(٦٠)٦	(٤٠)٤	مشيمية	أبقار	
(٥٠)١	(٥٠)١	دم		BPA4
*	*	دم		
(٦٠)٣	(٤٠)٢	دماغ	عجل	
(٦٦,٦٧)٢	(٣٣,٣٣)١	القلب		
(٠)٠	(١٠٠)١	العضلات الهيكلية		
(٥٠)٣	(٥٠)٣	دماغ		
(٥٠)٢	(٥٠)٢	القلب	أجنة مجهمضة	
(٣٣,٣٤)١	(٦٦,٦٦)٢	العضلات الهيكلية		

الإشارة التالية (*) عدم حصول نمو على المزارع الخلوية

المناقشة Discussion

بينت نتائج هذه الدراسة الكشف عن طفيلي البوغة الجديدة الكلبية في محطات الأبقار في سوريا من خلال عزله من أنسجة الحيوانات المصابة على خلايا الزرع الخلوي من نوع خلايا كلية أجنة القرود الأفريقيّة الخضراء ، حيث أظهرت الأنسجة (الدماغ ، عضلة القلب ، العضلات الهيكلية ، المشيمية والدم) ، التي تم هضمها بالتربيس و المتنقاة من الحيوانات المصابة(أجنة مجهمة ، عجول مولودة حديثاً والأبقار) ، إذ لوحظ نمو على خلايا الزرع الخلوي وبنسبة متباينة ، حيث أظهرت المزارع الخلوية بعد حفتها بمستخلص النسيج وجود تغيرات مرضية خلوية وازدادت بتقدم التمريرة وفترّة ظهورها ، إن هذه الاختلافات تعود لقابلية النزاري للبوغة الجديدة الكلبية للنمو بفترات زمنية مختلفة ، حيث بين (Katarina et al., 2011) ، حصول نمو للذرية (NC-SKB1) ، بعد 11 تمريرة ، بينما بين (Sawada et al., 2000) ، حصول نمو للذرية (BT-3) ، بعد 6 تمريرات. ويمكن تفسير هذا التباين بقابلية كل ذرية لسرعة تكفيها ونموها على خلايا الزرع الخلوي وملائمة نوع الخلايا لها (Gozdzik and Cabaj, 2007) ، وقد ثبّأنت التغيرات المرضية الخلوية في سرعة ظهورها وأشكالها حيث كانت متمثّلة بظهور فجوات ، تمزق الخلايا وظهور الحيوانات التسرعية حيث ازدادت بتقدم التمريرة واختلاف الأعضاء والحيوانات ، إن هذه الاختلافات تعود إلى الاختلاف في عدد الحيوانات التسرعية في العينات حيث أنه كلما ازداد عددها زادت سرعة ظهورها إضافة إلى الاختلافات في ضراوة نزاري البوغة الجديدة الكلبية (Okeoma et al., 2004) ، وقد بيّنت نتائج الكشف عن الدنا باستخدام تفاعل سلسلة البولимерيز ذو الوقت الحقيقي للبوغة الجديدة الكلبية في المزارع الخلوية التي ظهر عليها النمو، حيث كان بنسبة عالية في أنسجة الأديمقة والعضلات الهيكلية للأجنة المجهمة، والقلب والعضلات الهيكلية للعجول حديثة الولادة ، بينما كان في الأبقار بنسبة متقاربة في الدم والمشيمية ، إن الاختلاف في نسب ظهور ونمو البوغة الجديدة الكلبية في المزارع الخلوية للأعضاء المختلفة قد يعود لعدة أسباب منها : إن أنسجة المشيمية والأجنة تظهر فيها نسبة إصابة منخفضة نتيجة تعرضها للتلف أو للتحلل الذائي مما يقلل من فرص ظهورها بصورة صحيحة (Collantes et al., 2005) ، بينما بيّنت دراستا أن نسبة عالية نتيجة التعامل المباشر والاتي مع العينة دون اللجوء إلى حفظها ومعاملاتها بعد فترة زمنية من الحفظ ، فيما بين آخرون (Wisniewski et al., 2002) ، أن نسبة الإصابة تكون متباينة حسب موقع المشرع ونوعه حيث بين أن المشرع للجين Nc5 يكون ذو حساسية عالية للكشف عن هذا الطفيلي نتيجة عدم تواجده في الأولى التي تمتلك علاقة مستضدية مع البوغة الجديدة الكلبية (*Toxoplasma gondii*) ، مما يرفع من دقة التشخيص.

وأظهرت النتائج عدم حصول نمو في عينات الدم للعجول وكذلك تواجد الطفيلي بنسبة منخفضة في دم الأبقار، وقد يعود السبب في ذلك إلى مرحلة تطور وانتقال الطفيلي داخل الثدي المتوسط ، حيث أنه يكون بأعداد كبيرة في مرحلة الطفيليّة دون المراحل الأخرى مما يؤثر على نسب الإصابة (Aline et al., 2009) ، وبينت النتائج كذلك وجود الدنا للطفيلي في المزارع الخلوية بنسب عالية

ومنقعة، وقد يعود السبب في ذلك لاستخدامنا أكثر من مشروع للكشف عن نزاري البوغة الجديدة الكلبية، وهذا يختلف عن ما ذكره (Salehi et al., 2009) حيث كانت النسبة المنخفضة نتيجة لاستخدامه نوع واحد من المنشعات ، وقد فسر سبب النسب المنخفضة من قبل باحثين آخرين (Medina, 2006) ، باستخدام المشروع ITS1 والذي يمتلك حساسية أقل مما هو عليه حال بالنسبة للذى يتمتع به المشرع NC5.

بينت نتائج هذه الدراسة العلاقة ما بين الأعراض المرضية و عدد العينات الإيجابية لكل من المزارع الخلوية وتفاعل سلسلة البوليمرizin ذو الوقت الحقيقي، حيث أن هناك تبايناً ما بين المجاميع ، حيث بينت نتائج الفحص للأجنة المجهضة أن أعلى نسبة إصابة لكلا الطريقتين كانت في الأجنة التي أجهضت في (الثلث الثاني) ، وقد يعود السبب في ذلك إلى أن الأجنة في الثلث الأول من الحمل في حال كونها مصابة تكون الإصابة في بداية تكوانها وعدد الحيوانات التسرعية فيها قليلاً ، في حين أن الأجنة في الثلث الأخير من الحمل تكون الحيوانات التسرعية في أنسجتها قليلة نتيجة قابلية جهازها المناعي لتكوين استجابة مناعية ، بالإضافة إلى الاستجابة المناعية لأجساد أمهاها مما قد يقلل من تكاثر وانتشار الطفيلي في أنسجتها (Corbellini, 2002) ، أما العجول فكانت أعلى نسبة إصابة في تلك التي أظهرت عدم قدرتها على النهوض مع أعراض تظير فشلاً عضلياً وعصبياً، وقد يعود السبب في ذلك لظهور أعراض على هذه العجول ناجمة عن إصابة بالبوغة الجديدة الكلبية فضلاً عن ضعف النمو في أجسادها مما قد يساعد في انتشار وتقدم الإصابة (Hemphill et al., 2000) ، أما عند الأبقار فللحظ أن أعلى نسبة إصابة كانت في أبقار التي أجهضت (الثلث الثاني من الحمل) ، وقد يعود السبب في ذلك إلى دور الإصابة المزمنة حيث أن الإصابة تنشط نتيجة تحطم الأكياس التس urgic Bradyzoites-to- وتحول الحيوانات البطيئة إلى الحيوانات التسرعية نتيجة لعملية تسمى (Tachyzoites Reconversion)، وذلك نتيجة أي خلل في الجهاز المناعي أو للحمل، وإن إعادة تشيط الإصابة المزمنة بأخذ فترة من الزمن مما قد يقلل من فرصة حدوث الإجهاض في الثلث الأول من الحمل نتيجة الإصابة بالبوغة الجديدة الكلبية (Guy et al., 2001) ، في حين أن الثلث الأخير من الحمل نقل فيه نسبة الإصابة نتيجة للاستجابة المناعية والتي تقلل من أعداد الحيوانات التسرعية في المشيمة (Bergeron et al., 2000).

وقد بيّنت نتائج الكشف عن أنواع النزاري المعزولة في خلايا الزرع الخلوي والتي جرى الكشف عنها وتصنيفها باستخدام ثلاثة أزواج من المنشعات للنراري (BPA4, NC1, NC-5) ، باستخدام تفاعل سلسلة البوليمرizin ذو الوقت الحقيقي وجود تباين في نسب تواجدها في الأعضاء والحيوانات حيث كانت أعلى نسبة للذرية NC-5 في عينات الأبقار التي تم العزل منها، في حين سجلت الذرية BPA4 أعلى نسبة إصابة لكل من العجول والأجنة، إن هذا التباين يعود لعددأسباب منها، الاختلاف في ضراوة النزاري المسببة للإصابة حيث إن الدراسات لم تثبت إلى حد الان مدى ضراوة جميع النزاري للبوغة الجديدة الكلبية في الأبقار، وذلك نظراً لتكلفة المادية العالية لإجراء ذلك فيما عدا استخدام الحيوانات المخبرية بالإضافة إلى أن للبوغة الجديدة الكلبية قابلية لإصابة أعضاء دون

الأخرى ،كل ذرية حسب خصائصها الحيوية(البيولوجية) والجينية، لذلك فان نسب انتشارها وتواجدها في الأعضاء تكون متباعدة (Al-Qassab *et al.*,2010) ، فيما ذكر آخرون (Alexander *et al.*,2011) ، أن ذراري البوغة الجديدة الكلبية التي تصيب الكلاب تصيب الأبقار على حد سواء .

وقد أكد (Sager,2001) أن تشخيص البوغة الجديدة الكلبية يتطلب استخدام أكثر من اختبار، ويتعلق ذلك بعدها الحساسية والتوعية للتشخيص .

المراجع References

Alexandre,D.M.,Ana,P.P.J., and Rosangela,Z.M.(2011).Bovine abortion Associated with *Neospora caninum* :Diagnosis and Epidemiological Aspects of a dairy cattle herd in the Northeast region of Sao Paulo State,Brazil.
Brazilian Journal Of Veterinary Pathology ,4(2):112–116.

Aline,D.C.,Clarice,N.C.,Nara,T.C.,Liria,H.O.,Edviges,M.P.,and Claudia, D.F.(2009).Diagnosis of *Neospora caninum* in bovine fetuses Histology,immunohistochemistry , and nested –PCR.Rev Bras Parasitol Vet .18(4):14–19.

Al-Qassab,S.E.,Michael,P.R., and John,T.E.(2010).On the biological and Genetic diversity in *Neospora caninum*. Diversity,2 :411–438.

Bergeron,N.,Girard,C.,Pare,J.,Fecteau,G.,Robinson,J.,and Baillargeon,P. (2000).Rare detection of *Neospora caninum* in placentas from Seropositive dams giving birth to full-term calves .J Vet Diag Invest ,13:1169–172.

Bjerkas,I.,Mohn,S.F.,and Piesthus,J.(1984).Unidentified cyst –forming Sporozoan causing Encephalomyelitis and Myocystitis in dogs. Z Parasitenkd,70:271–274.

Collantes,F.E.,Rodriguez,B.A.,Amaiz,S.I.,Moreno,B.,Aduriz,G.,and

- Ortega,L. (2006).Influence of the stage of pregnancy on *Neospora caninum* Distribution parasite loads and lesion in aborted bovine fetuses. *Theriogenology* ,10:629–641.
- Corebellini ,L.C.(2002).Neosporosis as acause of abortion in dairy cattle in Rio Grande do Sul ,Southern braail. *Veterinary Parasitology* , 103(3):195–202.
- Dubey ,J.P.,Schares,G., and Ortega-Mpra,L.M.(2007). Epidemiology And control of neosporosis and *Neospora caninum* . *Clinical Microbiology Review*,20(2):323–367.
- Esther,C.F.,Angel,Z.,Gema,A.G.,and Luis,M.O.(2002).Quantitative detection Of *Neospora caninum* in bovine aborted fetuses and experimental Infected Mice by Real-Time PCR. *Journal Of Clinical Microbiolog* ,40(4):1194–1198.
- Gozdzik,K., and cabaj,W.(2007).Characterization of the first Polish isolate Of *Neospora caninum* from cattle. *Acta Parasitologica* ,52:295–297.
- Guy,C.S.,Williams,D.J.L.,Kelly,D.F.,McGarry ,J.W.,Guy,F.,Bjorkman,C., Smith ,R.F.,and Trees,A.J.(2001) . *Neospora caninum* in persistently Infected pregnant cows:spontaneous transplacental infection is Associated with an acute increase in maternal antibody. *Vet Rec*, 149:443–453.
- Habibi,G.R.,Hashemi,F.R.,Sadrebazzaz,A.,Bozorgi,S., and Bordbar,N.(2005) Seminested PCR for diagnosis of *Neospora caninum* infection in Cattle. *Arch Razi Ins* ,59:55–64.
- Hemphill,A.,Gottstein,B.,and Conraths,F.J.(2000).A European perspective on *Neospora caninum* . *Int J Parasitol* ,30:877–924.

Jessica,S.K.,Bronwyn,M.,Derek,S.S.,Scott,A.L.,Lada,H.H.,Ashile,H.,
Sarwat ,E.L.,John,T.E., and Jan,S.(2011).Extensive production
Of *Neospora caninum* tissue cysts in a carnivorous marsupial
Succumbing to experimental neosporosis.Vet Res ,42(1):75-86.

Katarina,R.,Silvia,S.,Andrea,C., and Rastislav,M.(2011).First in vitro
Isolation of *Neospora caninum* from naturally infected adult
dairy Cow in Slovakia.Acta Parasitologica ,56(2):111-115.

Masumi,S.,Hisayo,K.,Yukiko,T.,Chun-Ho,P.,Takehito,M.,Akinori,S.,
And Takashi,U.(2000).Isolation of *Neospora caninum* from
The brain of a naturally infected adult dairy cow. Veterinary
Parasitology ,90:247-252.

Medina,L.(2006).Survey of *Neospora caninum* infection by nested PCR
in Aborted fetuses from dairy farms in Aguascalientes,Mexico.
Veterinary Parasitology ,136(4):187-191.

Nathalie,V.(2003).Hiding inside the host: Development and application
Of *Neospora caninum* bradyzoites in vitro culture .PhD Thesis,
University of Basel,Germany, PP:29-34.

Norbert,M.,Nathalie,V.,Christian,G.,Stephen,L.L., and Andrew,H.(2002).
Application of Real-Time fluorescent PCR for Quantitative
Assessment of *Neospora caninum* infections in organotypic
Slice cultures of rat central nervous system tissue .J Clinic
Microbiology ,40(1):252-255.

Okeoma,C.M.,Williamson,N.B.,Pomroy,W.E.,Stowell,K.M., and
Gillespie,L.M (2004).Isolation and molecular characterization of
Neospora caninum In cattle in New Zealand. New Zealand

Veterinary Journal,52:364–370.

Sager,H.(2001).A Swiss case –control study to assess *Neospora caninum* Associated bovine abortions by PCR ,histopathology and serology. Veterinary parasitology ,102(1):1–15.

Salehi,N.,Haddadzadeh,H.,Ashrafiheilan,J.,Shayan,P., and Sadrebazzaz,A. (2009).Molecular and pathological study of bovine aborted fetuses And placenta from *Neospora caninum* infected dairy cattle. Iranian J Parasitol,4(3):40–51.

Sawada,M.,Kondo,H.,Tomioka,Y.,Park,C.H.,Morita,T.,Shimada,A.,and Umemura ,T.(2000).Isolation of *Neospora caninum* from the Brain a naturally infected adult dairy cow. Veterinary Parasitology ,90:247–252.

Timothy,V.B.,Lawrence,J.C.G.,Maureen,T.L., and Bruce,A.M.(1999). Detection by PCR of *Neospora caninum* in fetal tissue from Spontaneous bovine abortions. Journal of Clinical Microbiology, 37(12):4059–4064.

Yamane,I.,Kokuho,T.,Shimura,K.,Eto,M.,Shibahara,T.,Haritani,M.,Ouchi Y.,Sverlow,K., and Conrad ,P.A.(1997).In Vitro isolation and Characterization of a bovine *Neospora* Species in Japan.Res Vet Sci, 63:77–80.

Wisniewski,M.,Cabaj,W.,Moskwa,B., and Wedrychowicz,H.(2002).The First detection of *Neospora caninum* DNA in brains of calves in Poland .Acta Veterinaria ,52(6):393–400.

ISOLATION AND DIAGNOSIS OF NEOSPORA CANINUM DNA FROM CATTLE IN SYRIA

AL-Obaidii ,W., Katranji,M.M., AL-Khaled,A.

ABSTRACT

In order to isolate *Neospora caninum* in cell culture (Vero cell) and diagnosis the strains by using Real Time Polymerase Chain Reaction by using three different primers pairs(NC-5,Nc1 and BPA4) from the tissue(brain, heart , skeletal muscle, placenta and blood) of 25 aborted fetus ,14 new borne calves and 39 cattle which suffer from abortion ,the study showed from culturing of tissue sample extract in tissue culture , Cyto Pathic Effect(CPE) this effect manifested by Vacule,Rupture in cell and presence of tachyzoites , when application the PCR technique in DNA template which extracted from infected cell culture ,showed presence increased fluorescent curve which indicate positive to *Neospora caninum* DNA,the highest percentage of infection in cell culture which infected with brain and skeletal muscle of Aborted fetus and Heart, skeletal muscle of calves ,while cell culture which infected with placenta of cow showed lowest percentage than blood sample the result show variance between clinical signs which appear in infected animals with the percentage of infection , the results of DNA detection of strains appear variation depending on the strain, sample, animal

Key words : *Neospora caninum* –Vero cell –Cyto Pathic Effect –
Real Time Polymerase Chain Reaction–Strains–DNA.

Accepted: Received